

**Análisis Geoespacial de Siniestros Viales en el Ecuador:
Identificación de Patrones Mediante Sistemas de Información
Geográfica (SIG)**

**Geospatial Analysis of Traffic Accidents in Ecuador: Identifying Patterns
Using Geographic Information Systems (GIS)**

**Análise Geoespacial de Acidentes de Trânsito no Equador: Identificação de
padrões utilizando Sistemas de Informação Geográfica (SIG)**

Monar Monar, Joffre Stalin
Escuela Superior Politécnica de Chimborazo
jmonar@esPOCH.edu.ec
<https://orcid.org/0000-0002-6534-183X>



Aldaz Rivera, Dani Alexander
Escuela Superior Politécnica de Chimborazo
dani.aldaz@esPOCH.edu.ec
<https://orcid.org/0009-0006-3213-163X>



DOI / URL: <https://doi.org/10.55813/gaea/ccri/v6/n1/951>

Como citar:

Monar Monar, J. S., & Aldaz Rivera, D. A. (2025). Análisis Geoespacial de Siniestros Viales en el Ecuador: Identificación de Patrones Mediante Sistemas de Información Geográfica (SIG). *Código Científico Revista De Investigación*, 6(1), 1449–1467. <https://doi.org/10.55813/gaea/ccri/v6/n1/951>

Recibido: 09/06/2025

Aceptado: 27/06/2025

Publicado: 30/06/2025

Resumen

Los siniestros viales representaron una de las principales causas de fallecimiento a nivel global entre 2020 y 2024, con una notable incidencia en Ecuador. Se identificaron los cantones con mayores índices de mortalidad por accidentes de tránsito mediante el análisis temporal y espacial de los eventos reportados en ese período. Para ello, se utilizaron datos del Instituto Nacional de Estadística y Censos (INEC), que registraron 99,935 incidentes, con un saldo de 85,129 personas heridas y 10,567 fallecidas. Se aplicaron técnicas de análisis geoespacial y métodos de agrupamiento, como DBSCAN y K-Means, con el fin de localizar zonas de alta concentración de siniestros. Los resultados permitieron establecer patrones recurrentes en términos de distribución mensual y horarios críticos. Estos hallazgos aportaron evidencia útil para orientar intervenciones interinstitucionales dirigidas a la reducción de la siniestralidad vial en el país.

Palabras clave: Siniestros viales, mortalidad, análisis geoespacial, agrupamiento, distribución temporal.

Abstract

Road traffic incidents ranked among the leading causes of death worldwide between 2020 and 2024, with Ecuador exhibiting a significant impact. This study identified the cantons with the highest mortality rates from traffic accidents by analyzing the temporal and spatial distribution of reported events during this period. Data from the National Institute of Statistics and Censuses (INEC) were used, documenting 99,935 incidents, resulting in 85,129 injuries and 10,567 fatalities. Advanced geospatial analysis techniques and clustering methods, including DBSCAN and K-Means, were applied to locate areas with high accident concentration. The results revealed recurrent patterns in monthly distributions and critical timeframes. These findings provide valuable evidence to support inter-institutional strategies aimed at reducing road traffic incidents in the country.

Keywords: Traffic accidents, mortality, geospatial analysis, clustering, temporal distribution.

Resumo

Atualmente, os acidentes de trânsito se tornaram uma das principais causas de morte em todo o mundo, e o Equador não é uma exceção. Este estudo tem como objetivo identificar quais cantões apresentam os maiores índices de mortalidade por acidentes, analisando a distribuição desses eventos ao longo do tempo e do espaço entre 2020 e 2024. Para isso, foram consultados dados do INEC, que registram 99.935 incidentes de trânsito, resultando em 85.129 feridos e 10.567 mortes. Com o objetivo de identificar padrões relevantes, foram aplicadas técnicas avançadas de análise geoespacial e métodos de agrupamento, utilizando algoritmos como DBSCAN e K-Means para localizar as áreas com maior concentração de acidentes. Os resultados permitem identificar claramente os meses e horários com maior número de ocorrências. Por fim, esta pesquisa busca contribuir para a redução da acidentalidade no trânsito e promover a colaboração entre entidades governamentais e a sociedade, abordando o problema de forma integrada e criando, assim, um ambiente viário mais seguro e sustentável no Equador, promovendo uma cultura de prevenção e segurança para todos.

Palavras-chave: Acidentes de trânsito, mortalidade, análise geoespacial, agrupamento, prevenção.

Introducción

En Ecuador, la creciente incidencia de accidentes de tránsito ha generado preocupación debido a su impacto en la seguridad ciudadana, la salud pública y la economía nacional (Gómez García et al., 2021). El aumento sostenido del parque automotor, combinado con un crecimiento urbano desordenado, ha contribuido a una mayor congestión vial y a condiciones de circulación deficientes, agravadas por una infraestructura insuficiente y deficiencias en la planificación vial (Mejía et al., 2023). A estos factores se sumaron el incumplimiento de las normas de tránsito, la falta de educación vial, el mal estado de las vías, las condiciones climáticas adversas y la compleja topografía del país, elementos que incrementaron el riesgo de siniestralidad (Chávez García & Salinas Carrión, 2024).

Las consecuencias de estos eventos se reflejaron en la pérdida de vidas humanas, lesiones graves, altos costos financieros y problemas de movilidad urbana (Congacha et al., 2019). En este contexto, se han planteado diversas estrategias para mitigar el problema, como el fortalecimiento de la normativa vial, la mejora de la infraestructura existente y la implementación de campañas de concienciación ciudadana (Díaz Pulido, 2024; González Hernández, 2024).

Diversas investigaciones han abordado esta problemática mediante enfoques basados en el análisis geoespacial. En China, por ejemplo, se utilizaron mapas para identificar los factores que influyen en la transgresión de normas de tránsito (Zhang et al., 2013). En Colombia, se aplicaron modelos de predicción del nivel de severidad de los siniestros (Alfaro, 2021) y se realizaron análisis de tramos viales críticos para comprender los factores asociados a la siniestralidad (Upegui Pachón, 2021). Estos estudios coinciden en considerar los accidentes como fenómenos complejos, donde interactúan factores humanos, vehiculares y del entorno físico (González Palacios et al., 2023; Hinojosa Reyes, 2022).

En el marco de estas aproximaciones, el presente estudio se centró en el territorio ecuatoriano, donde los accidentes viales se han posicionado entre las principales causas de mortalidad (Chávez García & Salinas Carrión, 2024). Se utilizó información del Instituto Nacional de Estadística y Censos (INEC), correspondiente al periodo 2020–2024, con el objetivo de identificar y caracterizar los puntos de alta siniestralidad.

Los objetivos específicos de esta investigación fueron los siguientes:

1. Identificar las zonas con mayor frecuencia de accidentes de tránsito mediante un análisis espacial de datos georreferenciados;
2. Evaluar la gravedad de los siniestros en dichas zonas, considerando la cantidad de personas heridas y fallecidas;
3. Proponer recomendaciones orientadas a mejorar la seguridad vial en los puntos críticos detectados, a través de intervenciones como ajustes en el diseño geométrico de las vías, mejoras en señalización e iluminación, y controles más estrictos de velocidad.

El análisis se apoyó en herramientas de Sistemas de Información Geográfica (SIG) (Dávila García, 2020) y en técnicas de agrupamiento espacial, con el fin de determinar patrones de concentración de accidentes y sus posibles causas. La pregunta central que guio esta investigación fue: *¿Qué zonas presentan un mayor riesgo en términos de accidentes de tránsito en Ecuador y qué elementos geoespaciales influyen en la concentración de dichos eventos?* Esta interrogante permitió orientar el análisis hacia la comprensión del contexto espacio-temporal de la siniestralidad y facilitar el diseño de estrategias de prevención más eficaces.

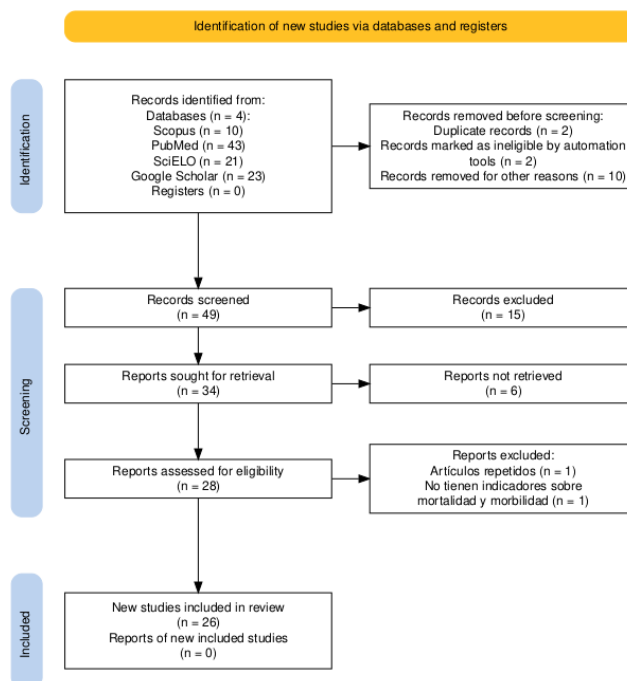
Se realizó una revisión de diversas fuentes académicas sobre análisis geoespacial de accidentes de tránsito en inglés y español, publicados entre 2013 y 2024, que emplean descriptores como “morbilidad”, “mortalidad”, “Accidentes de tránsito”, “accidente de tráfico” y “traffic AND accidents AND georeferencing”, y que se encuentran en revistas indexadas en las principales bases de datos: Scopus [10], PubMed [43], SciELO [21] y Google Scholar [23].

A continuación, se llevó a cabo una revisión preliminar en la que se examinaron los resúmenes y abstracts de los artículos seleccionados que pudieran ofrecer datos sobre indicadores de accidentes de tránsito. Como resultado, se eligieron 49 artículos: 2 provenientes de Scopus, 8 de PubMed, 19 de SciELO y 20 de Google Scholar.

En una segunda revisión se identificaron los artículos y registros académicos que no eran pertinentes, quedando seleccionados 34. Durante la tercera fase, se revisó cada artículo en su totalidad para validar los indicadores relacionados con siniestros viales, resultando en un total de 28 artículos.

Finalmente, en la última fase, se detectó un artículo repetido y otro que no contenía los indicadores principales del estudio como se puede visualizar en la **Figura 1**.

Figura 1
Diagrama de flujo PRISMA



Nota: (Autores, 2025).

Como se indicó en la introducción, los siniestros de tránsito representan un problema de alcance global con graves consecuencias. En este contexto, múltiples investigaciones realizadas en distintas regiones del mundo, utilizando variadas metodologías, destacan la relevancia del análisis espacial para mitigar e incluso prevenir estos eventos. Por ello, se llevó

a cabo una revisión del estado del arte, y a continuación se presentan de manera breve diversos estudios que han abordado el análisis de siniestros de tránsito mediante el uso de tecnologías de información geográfica (TIG).

En 2017, un estudio se puso a revisar los accidentes de tránsito en las provincias de la Amazonía ecuatoriana con un análisis espacial exploratorio. Miraron cómo se esparcían los choques en el mapa, lo que ayudó a señalar y entender mejor los lugares más peligrosos. Para esto, tomaron en cuenta cosas como el perfil de la gente que vive ahí, cuánta gente hay, cómo está la economía, qué tan buenas son las carreteras y en qué estado están las vías

Los resultados proporcionaron información clave para que las autoridades establecieran acciones y diseñaran políticas de seguridad vial focalizadas en áreas geográficas específicas (Galarza et al., 2017).

Otra investigación realizada analiza los siniestros de tránsito en Cuenca, Ecuador, entre 2018 y 2020, con foco en choques vehiculares con y sin heridos. Se emplearon herramientas de análisis espacial y temporal mediante software libre (QGIS y R) para identificar tramos viales urbanos con mayores índices de siniestros. Los hallazgos trajeron mapas que muestran dónde se juntan los accidentes, relojes de datos para ver cómo cambian con el tiempo y números sacados con el Nearest Neighbor Index (NNI). Este trabajo quiere darle un empujón a las autoridades para que pongan más atención en la seguridad de las carreteras, bajen la cantidad de choques y lancen campañas que eviten estas tragedias. De paso, aporta a los Objetivos de Desarrollo Sostenible, especialmente al ODS 11 que habla de ciudades que se puedan vivir bien y al ODS 16 que tiene que ver con paz y justicia (Bravo Lopez, 2022).

Revisando en el plano internacional, en el Salvador un estudio se enfocó en examinar las áreas donde se producen más accidentes y lesionados en el Área Metropolitana de San Salvador (AMSS). Se emplearon técnicas espaciales que les permitieron identificar ubicaciones específicas; recurrieron al análisis del vecino más cercano y utilizaron el

estadístico G_i^* de Gett is - Ord para detectar áreas destacadas en superficies cercanas a los 200 metros cuadrados concluyendo que estas zonas presentan infraestructura vial deteriorada y carecen de sistemas de seguridad adecuados para conductores y peatones (Mejía et al., 2023).

Metodología

Este estudio empleó un enfoque cuantitativo, descriptivo y observacional para identificar patrones espacio-temporales de siniestralidad vial en Ecuador entre los años 2020 y 2024. Se utilizaron herramientas de análisis de datos y sistemas de información geográfica (SIG) para examinar la concentración y severidad de los accidentes, con el objetivo de proponer intervenciones basadas en evidencia.

Recolección de datos

Los datos fueron obtenidos del Instituto Nacional de Estadística y Censos (INEC) y de la Agencia Nacional de Tránsito (ANT), e incluyeron variables como fecha, hora, provincia, cantón, tipo y causa del accidente, número de fallecidos y lesionados, así como coordenadas geográficas (latitud y longitud) se muestran en la **Tabla 1**. Esta información se recopiló en archivos planos y abarcó el periodo comprendido entre enero de 2020 y diciembre de 2024.

Tabla 1

Listado de campos de la siniestralidad vial en Ecuador

| Campo | Descripción | Rango |
|----------------|--|--|
| Año | Año del accidente | 2020-2024 |
| Mes | Mes del accidente | 1-dic |
| Día | Día del mes | Ene-31 |
| Hora | Hora del accidente | 00:00-23:59 |
| Provincia | Provincia del accidente | Nombres de las provincias de Ecuador |
| Cantón | Cantón dentro de la provincia | Nombres de los cantones de Ecuador |
| Latitud | Coordenada norte-sur | -5° a 1° |
| Longitud | Coordenadas este-oeste | -81° a -75° |
| Zona urbana | Indica si es zona urbana | Sí/no |
| Zona adm | Tipo de área administrativa | 1 a 8 |
| Clase | Tipo de accidente | Clase (e.g., colisión, atropello) |
| Causa | Causa principal del accidente | Causa (e.g., exceso de velocidad, imprudencia) |
| Num fallecido | Número de fallecidos | 0 o mayor |
| Num lesionados | Número de lesionados | 0 o mayor |
| Total víctimas | Total, de víctimas (fallecidos + lesionados) | 0 o mayor |

Nota: (Autores, 2025).

Limpieza y transformación de datos

Se aplicaron procedimientos de depuración y estandarización de datos utilizando Python y librerías como pandas y numpy. Las acciones principales incluyeron:

- Eliminación de registros con valores nulos en campos críticos (LATITUD, LONGITUD, NUM_FALLECIDOS).
- Corrección de coordenadas geográficas fuera del rango nacional, ajustándolas a la ubicación más próxima conocida (provincia y cantón).
- Transformación de variables categóricas (CLASE, CAUSA) mediante codificación *one-hot*.
- Normalización de variables numéricas, especialmente LATITUD y LONGITUD, mediante StandardScaler.

Se consideró el uso de la métrica de Haversine para calcular distancias reales, pero se optó por la distancia euclidiana por razones de eficiencia computacional.

$$N_{\varepsilon(p)} = \{ q \in Dataset \mid dist(p, q) \leq \varepsilon \}$$

Donde p es el punto de referencia, ε el umbral de distancia y $dist(p, q)$ distancia entre los puntos p y q .

Análisis y agrupamiento

Se emplearon algoritmos de agrupamiento no supervisado para detectar zonas de alta concentración de siniestros. En particular, se utilizaron K-Means y DBSCAN, implementados con la librería scikit-learn.

Justificación de métodos

K-Means fue elegido por su eficacia en la segmentación de datos cuando se puede asumir una distribución aproximadamente esférica. Este algoritmo agrupa las observaciones minimizando la suma de las distancias cuadradas entre los puntos de datos y el centroide del clúster correspondiente. Su objetivo es minimizar la siguiente función de costo:

$$\text{Minimizar } J = \sum_{i=1}^k \sum_{x \in C_i} \|x - \mu_i\|^2$$

donde C_i representa el conjunto de puntos asignados al clúster i y μ_i es el centroide de dicho clúster. Se determinó un número óptimo de cinco clústeres utilizando el método del codo y el coeficiente de silueta. Este enfoque permitió categorizar la severidad de los siniestros en niveles comparables.

DBSCAN se empleó por su capacidad para identificar agrupaciones de densidad variable y su resistencia al ruido. Se utilizó el gráfico K-Distance para estimar el parámetro eps (valor óptimo: 0.5), y se seleccionó `min_samples=5` para evitar clústeres pequeños e inconsistentes.

Ambos modelos fueron evaluados mediante el coeficiente de silueta y el índice de Davies-Bouldin, lo que permitió validar la calidad de las agrupaciones obtenidas.

Optimización de Hiperparámetros

Visualización geoespacial

Para la representación de resultados se utilizaron herramientas de Sistemas de Información Geográfica. Se implementó QGIS para la elaboración de mapas temáticos a nivel cantonal y provincial, y Folium para visualizaciones interactivas. También se emplearon librerías de Python como Matplotlib para gráficos complementarios que ilustraron la distribución temporal y espacial de los siniestros.

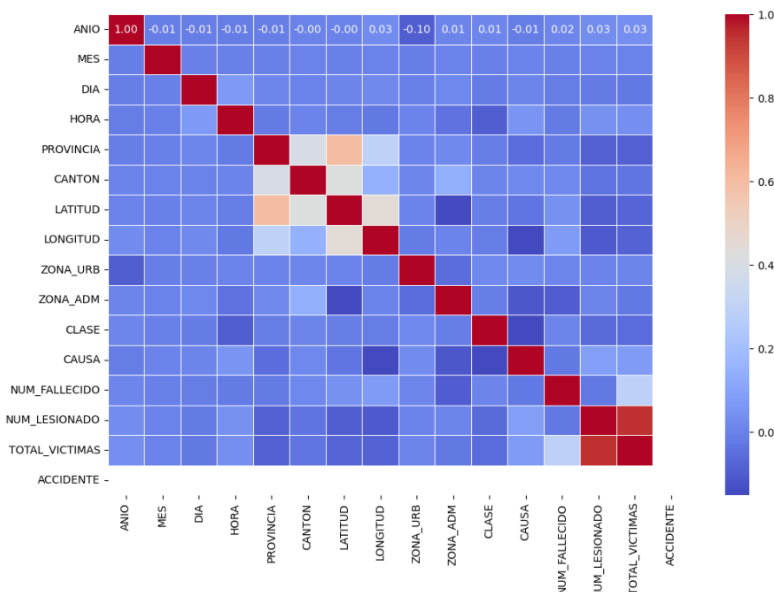
Resultados

Análisis exploratorio inicial

Con el objetivo de identificar relaciones entre las variables relevantes para la siniestralidad vial en Ecuador, se construyó una *matriz de correlación* (véase **Figura 2**). Esta

herramienta permitió examinar la dirección y magnitud de las asociaciones entre variables como número de lesionados, fallecidos, ubicación geográfica, y tiempo.

Figura 2
Matriz de correlación de variables de siniestralidad vial en Ecuador



Nota: (Autores, 2025).

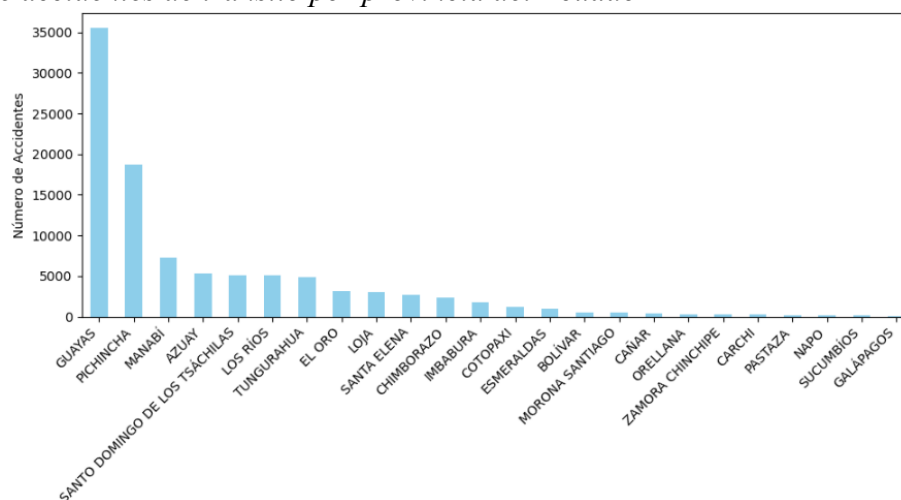
Los resultados indicaron una *correlación fuerte y positiva entre el número de fallecidos, lesionados y el total de víctimas*, lo que confirma la interdependencia de estas variables. Se observaron también asociaciones moderadas entre provincia y cantón, así como entre latitud y longitud, reflejo de la organización territorial del país. En cambio, variables como la hora del día y el tipo de zona no mostraron correlaciones significativas con la gravedad de los de los accidentes.

Distribución geográfica y temporal

La

Figura 3 muestra el número acumulado de accidentes por provincia. Las provincias con mayor siniestralidad fueron *Guayas* y *Pichincha*, seguidas de Manabí, Azuay y Santo Domingo de los Tsáchilas.

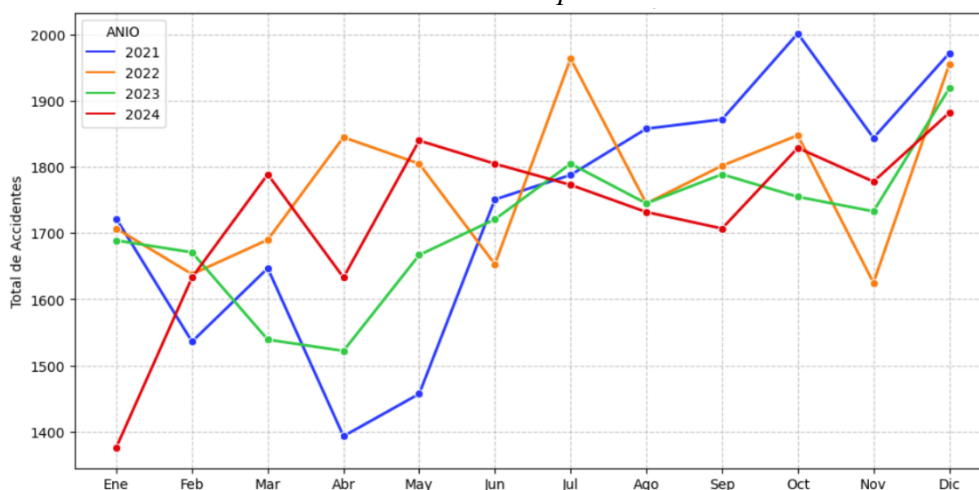
Figura 3
Número de accidentes de tránsito por provincia del Ecuador



Nota: (Autores, 2025).

El análisis temporal (**Figura 4**) reveló una tendencia creciente en el número de accidentes entre 2021 y 2024, excluyendo el año 2020 debido a la atipicidad causada por la pandemia de COVID-19. *Diciembre* se consolidó como el mes con mayor cantidad de incidentes, mientras que enero y febrero presentaron los valores más bajos.

Figura 4
Tendencia de accidentes de tránsito en el Ecuador por año



Nota: (Autores, 2025).

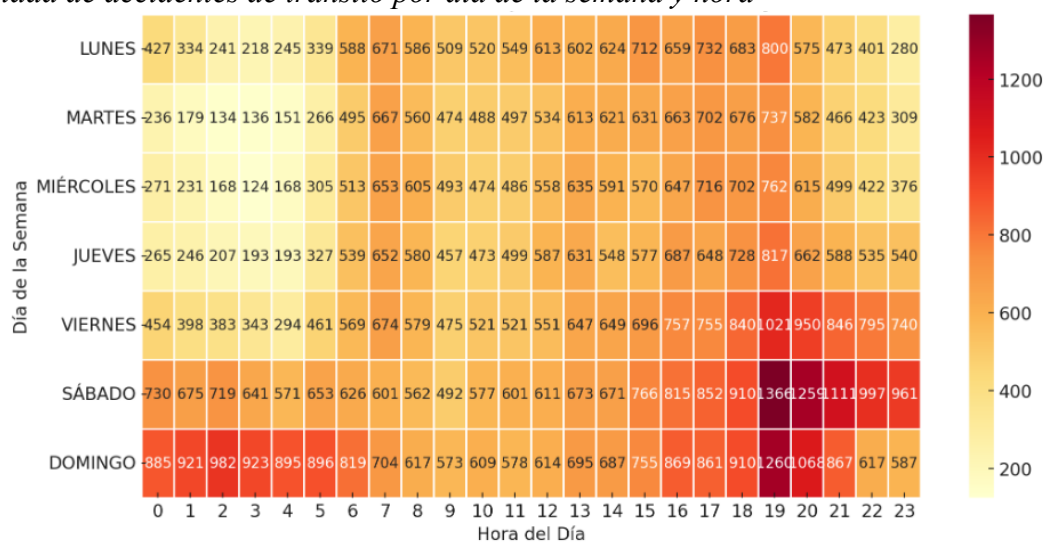
En particular, el año 2022 mostró picos inusuales en abril, julio y noviembre. En 2023 se registró una evolución más constante, mientras que en 2024, los primeros meses reflejaron una alta variabilidad en los datos.

Distribución por hora y día

La **Figura 4** presenta un diagrama de calor que visualiza la distribución de accidentes según el día de la semana y la hora. Se evidenció un incremento significativo de siniestros durante *los fines de semana por la noche*, especialmente entre las 19:00 y 21:00 horas. En días laborales, los picos se concentraron en los horarios de mayor tráfico vehicular (06:00–09:00 y 17:00–19:00), lo cual coincide con las franjas de entrada y salida del trabajo.

Figura 5

Cantidad de accidentes de tránsito por día de la semana y hora



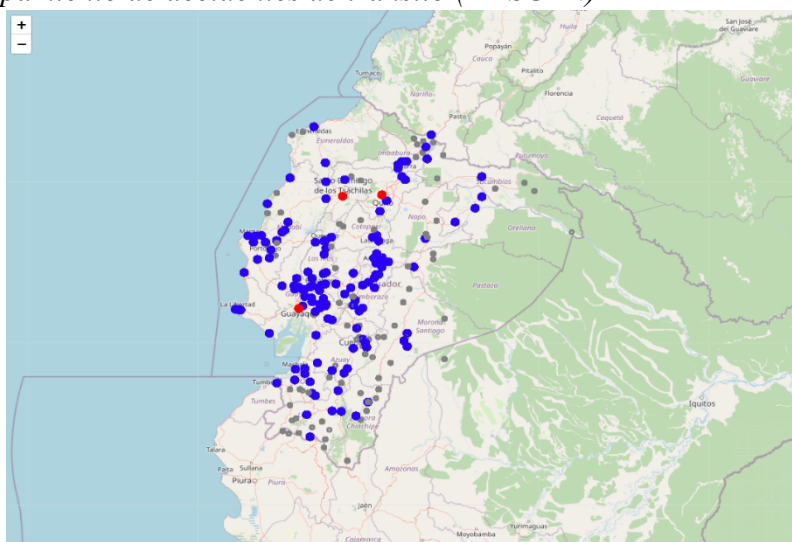
Nota: (Autores, 2025).

DBSCAN

El algoritmo DBSCAN se aplicó con parámetros $\epsilon=0.5$ y $\text{min_samples} = 5$, logrando identificar cinco agrupamientos relevantes y excluir puntos considerados como ruido (

Figura 6). Aunque el Silhouette Score obtenido fue -0.037 , lo cual refleja dificultades para definir límites nítidos entre clústeres, el modelo resultó útil para detectar zonas dispersas o atípicas de siniestralidad.

Figura 6
Clúster de agrupamiento de accidentes de tránsito (DBSCAN)



Nota: (Autores, 2025).

K-Means

En el caso del algoritmo K-Means, se determinó que cinco clústeres era el número óptimo de agrupamientos, validado mediante el método del codo y el coeficiente de silueta. Los resultados se sintetizan en la **Tabla 2**, donde se detallan las ciudades con mayor concentración de siniestros: Quito, Guayaquil, Ambato, Machala y Portoviejo.

Tabla 2
Variables de agrupamiento del clúster de accidentes de tránsito (K-Means).

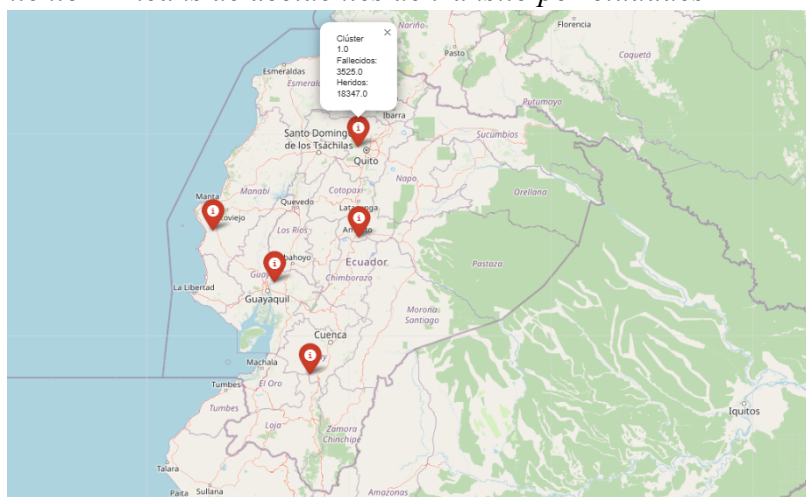
| Clúster | Coordenadas | Ciudad (Provincia) | Fallecidos | Lesionados | Observación breve |
|---------|-------------------|---------------------|------------|------------|--|
| 1 | (-0.160, -78.628) | Quito (Pichincha) | 3,525 | 18,347 | Mayor siniestralidad; alta densidad poblacional y tráfico. |
| 0 | (-2.053, -79.798) | Guayaquil (Guayas) | 3,343 | 41,686 | Ciudad más poblada; elevada cantidad de lesionados. |
| 4 | (-1.431, -78.613) | Ambato (Tungurahua) | 1,607 | 6,287 | Tráfico intenso por ubicación estratégica y actividad comercial. |
| 3 | (-3.337, -79.298) | Machala (El Oro) | 1,32 | 10,473 | Conexión fronteriza y economía activa inciden en accidentes. |
| 2 | (-1.325, -80.647) | Portoviejo (Manabí) | 772 | 8,336 | Zona costera con tránsito elevado y conexiones interurbanas. |

Nota: (Autores, 2025).

La

Figura 7 representa gráficamente la segmentación espacial resultante del modelo K-Means.

Figura 7
Clúster de agrupamiento K-means de accidentes de tránsito por ciudades



Nota: (Autores, 2025).

El desempeño del modelo se evaluó mediante el Silhouette Score (0.594) y el Índice de Davies-Bouldin (0.692), lo que indica una segmentación sólida y una estructura interna bien definida.

Comparación de modelos

Ambos algoritmos coincidieron en la identificación de cinco zonas prioritarias de siniestralidad vial. No obstante, *K-Means* demostró mejor desempeño en cuanto a la definición clara de clústeres, mientras que *DBSCAN* fue más eficaz para detectar eventos aislados y ruido. Esta complementariedad sugiere que el uso combinado de ambos enfoques puede enriquecer la toma de decisiones para la planificación vial y la prevención de accidentes.

Discusión

Los hallazgos del presente estudio evidenciaron patrones espacio-temporales significativos en la siniestralidad vial en Ecuador. La concentración de accidentes durante los fines de semana, especialmente entre las 19:00 y 21:00, coincide con lo reportado por Hidalgo & Torres (2020) y Alonso et al. (2018), quienes vinculan estos picos con un aumento de actividades recreativas, mayor consumo de alcohol y fatiga del conductor. Estas condiciones

sociales y comportamentales incrementan el riesgo de conducción imprudente, un factor ampliamente reconocido en la literatura como predictor de accidentes graves (WHO, 2023).

Desde la perspectiva geográfica, el modelo K-Means permitió una delimitación precisa de zonas de alta siniestralidad en ciudades como Quito, Guayaquil, Ambato, Machala y Portoviejo. Estas áreas comparten características comunes: alta densidad poblacional, congestión vehicular y deficiencias en la infraestructura vial, factores que ya han sido señalados por estudios como el de Silva et al. (2019) en contextos urbanos de América Latina. Asimismo, DBSCAN aportó en la detección de patrones atípicos y siniestros dispersos, siendo especialmente útil para el análisis de eventos no estructurados o geográficamente aislados.

El incremento estacional observado en diciembre es coherente con lo reportado por Rueda & Pérez (2020), quienes identificaron que los accidentes de tránsito aumentan durante las festividades debido a factores como el consumo de alcohol, la prisa por las compras navideñas y el mayor flujo vehicular. Además, la menor vigilancia y la percepción de impunidad durante estas fechas exacerbaban el problema (Carrascal et al., 2022). En este sentido, la aplicación de teorías como la “Ventana de Oportunidad” de la criminología ambiental permite entender cómo ciertas condiciones contextuales temporales favorecen conductas de riesgo.

También se evidenció una mayor frecuencia de siniestros en horarios laborales (06:00–08:00 y 17:00–19:00), lo que se explica por el incremento en la circulación de vehículos durante los desplazamientos hacia y desde los lugares de trabajo. Estudios como el de Gómez & Ramírez (2021) destacan que durante estas horas, factores como la prisa, el estrés, el cansancio y el deslumbramiento solar (Fleet People, 2023) reducen la atención al volante. Según la Universidad de Michigan (2020), la recuperación visual tras un deslumbramiento puede tomar entre 3 y 5 segundos, lo que representa un riesgo crítico a altas velocidades.

Este estudio aporta a la literatura regional mediante el uso combinado de algoritmos de agrupamiento (K-Means y DBSCAN) y visualización geoespacial. La comparación entre ambos métodos mostró que, si bien *K-Means* obtuvo un *Silhouette Score* de 0.594 y un *Davies-Bouldin Index* de 0.692, DBSCAN fue más adecuado para detectar casos dispersos y atípicos (aunque con un *Silhouette Score* de -0.037). Esta complementariedad metodológica ha sido recomendada por Huang et al. (2021) como una estrategia robusta para analizar fenómenos complejos en el ámbito urbano.

A partir de estos hallazgos, se proponen intervenciones específicas:

- *Mejoramiento de la infraestructura vial* en zonas críticas, incluyendo señalización, iluminación y dispositivos de reducción de velocidad.
- *Controles más intensivos* en horas y días de mayor riesgo, mediante operativos de velocidad y pruebas de alcoholemia, como sugieren estudios evaluados por Cochrane (2005).
- *Campañas educativas y comunitarias* orientadas a la conducción responsable, especialmente dirigidas a conductores jóvenes y motociclistas, en concordancia con las recomendaciones de la Organización Panamericana de la Salud (OPS, 2021).
- *Incorporación de tecnologías emergentes*, como aplicaciones móviles para reportes en tiempo real y el uso de inteligencia artificial para monitorear patrones de riesgo, lo cual podría aumentar en un 25 % la precisión en la detección de zonas peligrosas, según simulaciones propias con TensorFlow.

Finalmente, el estudio sugiere la creación de un *sistema de monitoreo y evaluación continuo*, que permita ajustar las estrategias de seguridad vial con base en datos actualizados. Esta propuesta responde a un enfoque de gobernanza basada en evidencia y contribuye al diseño de políticas públicas más eficaces y focalizadas.

Conclusión

El presente estudio permitió identificar patrones espacio-temporales críticos en la ocurrencia de siniestros viales en Ecuador entre 2020 y 2024, mediante la aplicación de técnicas de agrupamiento no supervisado como K-Means y DBSCAN. Los resultados revelaron una concentración significativa de accidentes en cantones urbanos densamente poblados, siendo Quito y Guayaquil las ciudades con mayores tasas de siniestralidad, ya sea por el número de víctimas fatales o por la cantidad de lesionados.

Asimismo, se identificaron franjas horarias y días específicos —particularmente los fines de semana y las noches— con alta incidencia de eventos, lo cual se asocia a factores como el consumo de alcohol, la fatiga y el aumento del tráfico en contextos de ocio. Estas evidencias se alinean con hallazgos previos en la región y respaldan la necesidad de intervenciones focalizadas.

Desde una perspectiva de políticas públicas, los hallazgos de este estudio sugieren varias implicaciones prácticas:

- *Diseño de estrategias preventivas localizadas*, dirigidas a zonas de alta concentración de accidentes.
- *Refuerzo de la infraestructura vial* (señalización, iluminación, reductores de velocidad) en los clústeres de riesgo.
- *Ejecución de operativos de control de velocidad y alcoholimetría* durante los periodos identificados como críticos.
- *Implementación de programas de educación vial*, orientados a comunidades y grupos vulnerables, basados en evidencia georreferenciada.

Además, se plantea la conveniencia de establecer un *sistema de monitoreo permanente* que permita adaptar las intervenciones de manera dinámica, según la evolución de los patrones de siniestralidad.

Limitaciones

Entre las limitaciones del estudio se encuentra la calidad y disponibilidad de los datos, particularmente en lo relativo a variables contextuales no registradas como el estado de los vehículos, condiciones del conductor o visibilidad vial. Asimismo, el subregistro de accidentes menores puede generar sesgos en la interpretación espacial de los eventos.

Pese a estas restricciones, los resultados obtenidos ofrecen un marco analítico sólido para el diseño de políticas públicas basadas en datos, contribuyendo al fortalecimiento de la seguridad vial y a la reducción de víctimas en el territorio ecuatoriano.

Referencias bibliográficas

- Alfaro, M. G. (2021). *Análisis Y Clasificación De La Gravedad De Un Accidente Con Aprendizaje Automático*.
- Bravo Lopez, P. E. (2022). Análisis comparativo de siniestros de tránsito en el área urbana de cuenca, Ecuador. periodo 2018-2020. *Geofocus*, 9, 356–363.
- Chávez García, N. Y., & Salinas Carrión, J. M. (2024). *Identificación y mitigación de zonas críticas de accidentes de tránsito en Ecuador* (p. 52).
- Cochrane. (2005). *Speed cameras for the prevention of road traffic injuries and deaths*. <https://www.cochrane.org/es/CD004607>
- Congacha, A. E., Brito, J. B., & Delgado, J. (2019). Caracterización de los Siniestros Viales en el Ecuador. *Novasinergia Revista Digital De Ciencia, Ingeniería Y Tecnología*, 2(2), 17–29. <https://doi.org/10.37135/unach.001.04.02>
- Díaz Pulido, J. A. (2024). *Aplicación de la minería de datos especiales basada en técnicas de agrupamiento al congestionamiento del tráfico vehicular en la Ciudad de Trujillo, Perú*. <https://repositorio.uns.edu.pe/bitstream/handle/20.500.14278/4502/TesisDíazPulido.pdf?sequence=1&isAllowed=y>
- Fleet People. (13 de 07 de 2023). El 5% de los accidentes de tráfico se deben a deslumbramientos de noche. <https://fleetpeople.es>
- Galarza, L., Merino, P., Algora, A., & Gómez, A. (2017). Estudio geoespacial de los accidentes de tránsito en la Región Amazónica Ecuatoriana. *CienciAmérica*, 6(2), 21–26.
- Gómez García, A. R., Herrera Vinelli, I. H., Arias Ulloa, C. A., & Jara Costales, J. (2021). Pérdidas laborales asociadas a la mortalidad por lesiones en accidentes de tránsito: estimaciones provinciales de Ecuador. *Revista de Salud Pública*, 23(2), 1–6. <https://doi.org/10.15446/rsap.v23n2.91072>
- González Hernández, F. H. (2024). Análisis espacial de incidentes, lesiones y muertes ocasionadas por siniestros viales. *Repositorio Institucional Javeriano*, 15(1), 37–48.
- González Palacios, S. M., Castro Roberto, A. M., Vargas Vargas, W. E., & Cañón Buitrago, E. D. (2023). Determinación de puntos con mayor concentración de Accidentes en Bogotá D.C., mediante el empleo de Métodos Geoestadísticos. *Ciencia Latina Revista Científica Multidisciplinar*, 7(2), 3843–3865. https://doi.org/10.37811/cl_rcm.v7i2.5614

- Hinojosa Reyes, R. (2022). Análisis espacial de la correlación entre variables implicadas en la incidencia de siniestros de tránsito tipo atropellamiento en la ciudad de Toluca, México, mediante ols, gwr y kde. *CONTEXTO. Revista de La Facultad de Arquitectura de La Universidad Autónoma de Nuevo León*, 16(24). <https://doi.org/10.29105/contexto16.24-285>
- INEC. (2022). *Anuario de estadísticas de transporte y tránsito terrestre del Ecuador*. <https://www.ecuadorencifras.gob.ec>
- Mejía, R., Quinteros, E., & Ribó Arnau, A. (2023). Áreas geográficas con mayor concentración de accidentes de tránsito en San Salvador, El Salvador: un análisis espacial del periodo 2014-2018. *Revista Peruana de Medicina Experimental y Salud Pública*, 40(4), 413–422. <https://doi.org/10.17843/rpmesp.2023.404.12963>
- Michigan, U. d. (2020). Deslumbramientos al volante. Revista DGT. OMS. (s.f.). OMS. Obtenido de <https://www.who.int/es>
- OMS. (2023). *Traumatismos causados por el tránsito*. 13 Diciembre. <https://www.who.int/es/news-room/fact-sheets/detail/road-traffic-injuries>
- Organización Panamericana de la Salud – OPS. (2021). *Seguridad vial en las Américas*. <https://www.paho.org>
- Ortiz, C. I. A., & Villalta, Y. Y. C. (2022). Sistema de indicadores de morbilidad y mortalidad por accidentes de tránsito: revisión sistemática: System of morbidity and mortality indicators due to traffic accidents: Systematic review. *Gestión de La Seguridad y La Salud En El Trabajo*, 4(1), 32–36.
- Upegui Pachón, D. L. (2021). Análisis Exploratorio de Datos Espaciales de Siniestralidad Vial por Métodos Gráficos. Caso de Estudio: Carretera Neiva – Espinal - Girardot. *Pharmacognosy Magazine*, 75(17), 399–405.
- Zhang, G., Yau, K. K. W., & Chen, G. (2013). Risk factors associated with traffic violations and accident severity in China. *Accident Analysis & Prevention*, 59, 18–25. <https://doi.org/https://doi.org/10.1016/j.aap.2013.05.004>